

# ELEKTRIZITÄT UND MAGNETISMUS

## 21. Das elektrische Feld I: diskrete Ladungsverteilungen (The electric field I: discrete charge distributions)

Tipler-Mosca

21.1 Elektrische Ladung (Electric Charge)

21.2 Leiter und Nichtleiter (Conductors and insulators)

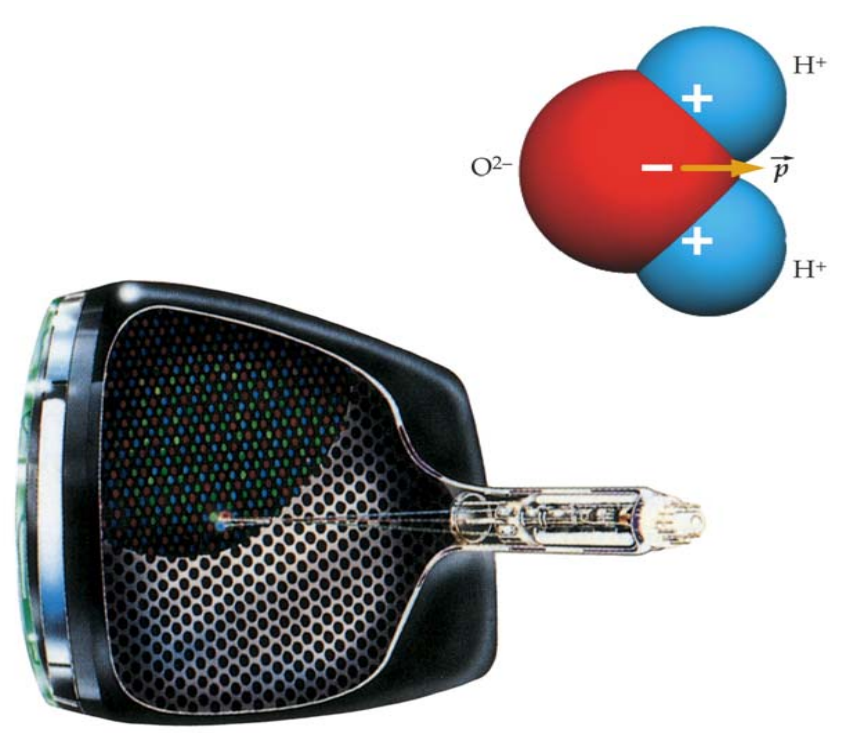
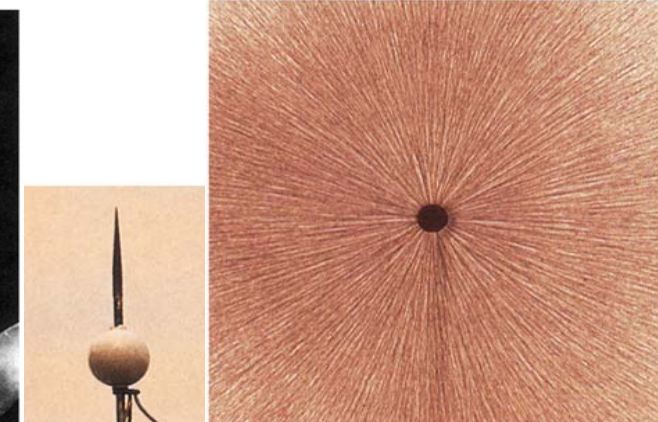
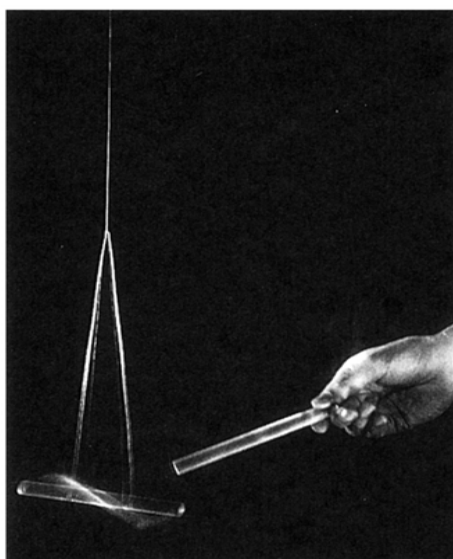
21.3 Das Coulomb'sche Gesetz (Coulomb's law)

21.4 Das elektrische Feld (The electric field)

21.5 Elektrische Feldlinien (Electric field lines)

21.6 Bewegung von Punktladungen in elektrischen Feldern (Motion of point charges in electric fields)

21.7 Elektrische Dipole in elektrischen Feldern (Electric dipoles in electric fields)



## Dubbel

## 21.1 Elektrische Ladung (Electric Charge)



Zwei an einem Fell geriebene Plastikstäbe stoßen sich gegenseitig ab

**Triboelektrische Reihe:**  
Je weiter unten in der Reihe ein Material steht, desto größer seine Affinität für Elektronen

TABLE 21-1

The Triboelectric Series

+ Positive End of Series

Asbestos

Glass

Nylon

Wool

Lead

Silk

Aluminum

Paper

Cotton

Steel

Hard rubber

Nickel and copper

Brass and silver

Synthetic rubber

Orlon

Saran

Polyethylene

Teflon

Silicone rubber

- Negative End of Series

Nach Franklin:

Überschußladung +

Mangelladung -

Willkürliche Wahl: Ladung auf einem Glasstab, gerieben mit Seide, positiv

Beim Reiben werden Elektronen von Glas auf Seide übertragen ⇒ Glas wird positiv, Seide negativ geladen

Objekte mit Ladungen mit entgegengesetzten Vorzeichen ⇒ Abstoßung mit gleiche Vorzeichen ⇒ Anziehung



**Ladungsquantisierung**

Jedes Material besteht aus Atomen:

Kern aus Protonen (positiv geladen,  $+e$ ) und Neutronen (ungeladen),

Anzahl der Protonen = Kernladungszahl  $Z$  des Elements,

Elektronenhülle aus Elektronen (negativ geladen,  $-e$ )  $\Rightarrow$

Gesamtladung des Atoms = null;

$e$  wird Elementarladung bezeichnet, innere Eigenschaft des Teilchens,

genauso wie Masse und Spin innere Eigenschaften des Teilchens sind.

Alle beobachtbare Ladungen treten in ganzzahligen Vielfachen von  $e$  auf  $\Rightarrow$  die Ladung ist quantisiert  $\Rightarrow$   
 $q = \pm n e$ .

**Ladungserhaltung**

Bei allen Prozessen ist die Gesamtladung der Teilchen vor der Wechselwirkung gleich der Gesamtladung der Teilchen nach der Wechselwirkung  $\Rightarrow$  die elektrische Ladung des Universums ist konstant: Gesetz der Erhaltung der Ladung (fundamentales Naturgesetz, Erfahrungssatz)

SI-Einheit der Ladung: Coulomb (C),

wird über die Grundeinheit des elektrischen Stromes, das Ampere (A) definiert:

Das Coulomb (C) ist die Ladungsmenge, die in einer Sekunde durch die Querschnittsfläche eines Drahts fließt, wenn die Stromstärke im Draht ein Ampere beträgt.

$$e = 1.602177 \times 10^{-19} \text{ C} \approx 1.60 \times 10^{-19} e$$

21-1

FUNDAMENTAL UNIT OF CHARGE

Beispiel 21.1: Wie viel Elektronenladung steckt in einem Kupferpfennig?

Kupferpfennig (Kernladungszahl  $Z = 29$ , molare Masse  $M_{\text{Cu}} = 63.5 \text{ g}$ ) mit Masse  $m = 3 \text{ g}$ , gesucht Gesamtladung aller Elektronen:

mit  $n_e$  Gesamtzahl der Elektronen  $\Rightarrow$  Gesamtladung  $q = n_e (-e)$

$$\text{mit } n_e = Z n_{\text{Cu}} \quad \text{und } n_{\text{Cu}} = \frac{m}{M_{\text{Cu}}} N_A = \frac{3 \text{ g}}{63.5 \text{ g mol}^{-1}} (6.02 \times 10^{23} \text{ Atome mol}^{-1}) = 2.84 \times 10^{22} \text{ Atome} \Rightarrow$$

$$n_e = Z n_{\text{Cu}} = (29 \text{ Elektronen pro Atom})(2.84 \times 10^{22} \text{ Atome}) = 8.24 \times 10^{23} \text{ Elektronen} \Rightarrow$$

$$q = n_e (-e) = (8.24 \times 10^{23} \text{ Elektronen})(-1.6 \times 10^{-19} \text{ C pro Elektronen}) = -1.32 \times 10^5 \text{ C}$$

## 21.2 Leiter und Nichtleiter (Conductors and insulators)

Leiter: Stoffe, in denen sich ein Teil der Elektronen frei bewegen kann;

Nichtleiter: Stoffe, in denen keine Elektronen frei beweglich sind.

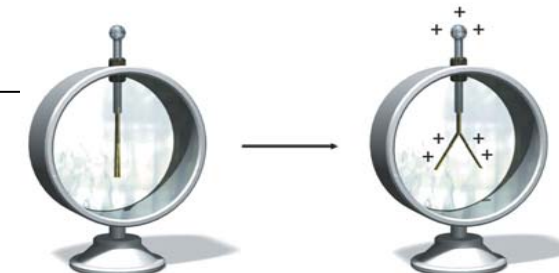
Kupfer-Atom: Außenelektronen wegen größeren kernabstand und wegen Abstoßung durch die inneren Elektronen schwach gebunden,

metallisches Kupfer: infolge der Wechselwirkungen zwischen den vielen Kupfer-Atomen  $\Rightarrow$  Bindung der äußeren Elektronen weiter reduziert  $\Rightarrow$  freies Elektronengas in einem Leiter;

Ion: Atom, das ein Elektron verloren (aufgenommen) hat  $\Rightarrow$  positiv (negativ) geladen

Ionen sind im Kristallgitter angeordnet, elektrisch neutral wenn für jedes Gitterion ( $+ e$ ) ein freies Elektron ( $- e$ ) vorhanden ist.

Die Gesamtladung eines Leiters kann durch Zufuhr oder Abfuhr von Elektronen geändert werden  $\Rightarrow$  negativ = Überschuss, positiv = Defizit an freien Elektronen.



Messung der Aufladung mit einem Elektroskop

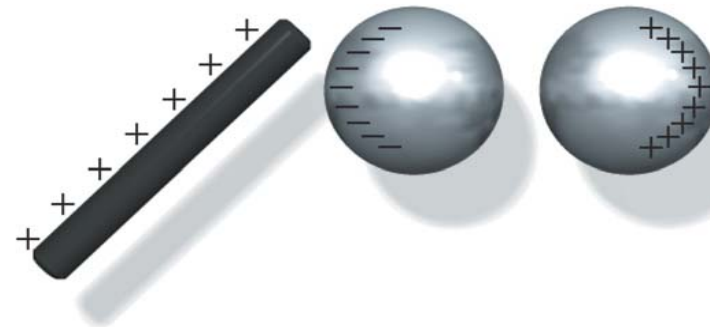
**Aufladen durch Influenz (elektrostatische Induktion)**

Entgegengesetzte Aufladung der  
in Kontakt stehende Kugel durch den Stab



Ein Leiter, der entgegengesetzt gleiche Ladungen  
an seinen Enden besitzt, nennt man polarisiert.

Trennung der Kugel

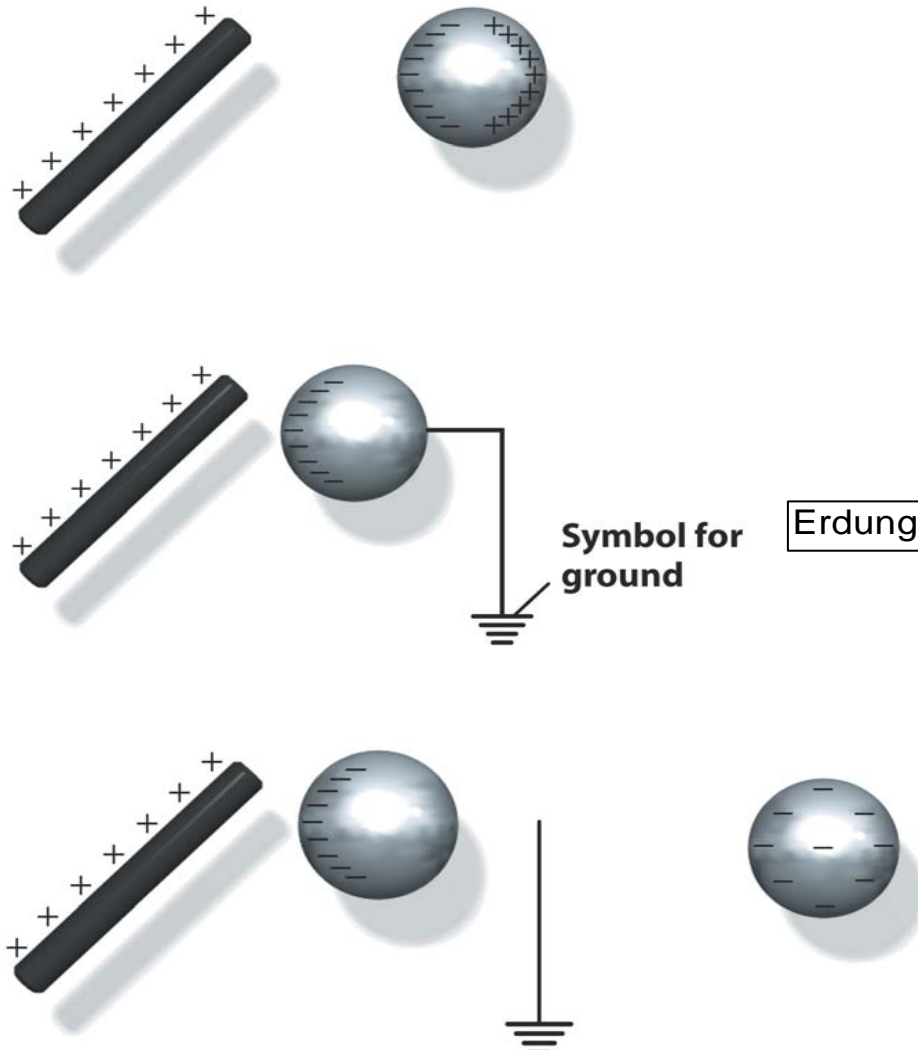


Entfernung des Stabes



Die beiden Kugeln tragen entgegengesetzt gleiche homogen  
über die Kugeloberfläche verteilte Ladung

Für viele Zwecke kann die Erde als unendlich großer Leiter mit großem Vorrat an freien Ladungen betrachtet werden.



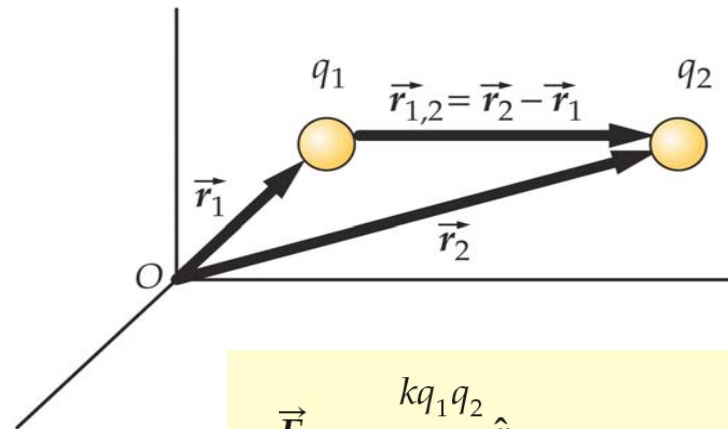
Blitzableiter



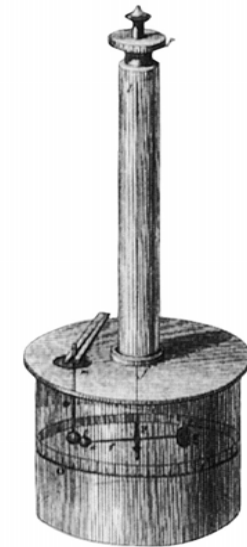
## 21.3 Das Coulomb'sche Gesetz (Coulomb's Law)

**Coulomb'sches Gesetz**

The force exerted by one point charge on another acts along the line between the charges. It varies inversely as the square of the distance separating the charges and is proportional to the product of the charges. The force is repulsive if the charges have the same sign and attractive if the charges have opposite signs.



COULOMB'S LAW



Coulomb'sche Torsionswaage

$$\vec{F}_{1,2} = \frac{kq_1q_2}{r_{1,2}^2} \hat{r}_{1,2}$$

21-4

COULOMB'S LAW FOR THE FORCE EXERTED BY  $q_1$  ON  $q_2$ 

$$\text{Proportionalitätskonstante } k = \frac{1}{4\pi\epsilon_0} = 8.98758 \times 10^9 \text{ N m}^2 \text{ C}^{-2}$$

wobei  $\epsilon_0$  die elektrische Feldkonstante (Dielektrizitätskonstante des Vakuums):  $\epsilon_0 = 8.85416 \times 10^{-12} \text{ C}^2 \text{ N}^{-1} \text{ m}^{-2}$

Die Kraft ist abstoßend, wenn die Ladungen das gleiche Vorzeichen haben, und anziehend, wenn die Ladungen entgegengesetztes Vorzeichen haben.  
Zum Vergleich, die Gravitationskraft ist immer anziehend.

Beispiel 21.2: Elektrostatische Kraft im Wasserstoff

Wasserstoffatom: Abstand Elektron-Proton  $r = 5.3 \times 10^{-11} \text{ m}$ ,

gesucht: die Größe der Anziehungskraft  $\Rightarrow$

$$\text{da } q_1 = +e \text{ und } q_2 = -e \Rightarrow |\vec{F}_C| = \frac{1}{4\pi\epsilon_0} \frac{|q_1 q_2|}{r^2} = \frac{1}{4\pi\epsilon_0} \frac{e^2}{r^2} = (8.99 \times 10^9 \text{ N m}^2 \text{ C}^{-2}) \frac{(1.6 \times 10^{-19} \text{ C})^2}{(5.3 \times 10^{-11} \text{ m})^2} \Rightarrow$$

$$|\vec{F}_C| = 8.19 \times 10^{-8} \text{ N}$$

Beispiel 21.3: Das Kräfteverhältnis von elektrischer Anziehung und Gravitation

Wasserstoffatom bestehend aus Proton ( $q_1 = +e$ ,  $m_p = 1.67 \times 10^{-27} \text{ kg}$ ) und Elektron ( $q_2 = -e$ ,  $m_e = 9.11 \times 10^{-31} \text{ kg}$ ), gesucht Verhältnis von elektrischer Kraft zur Gravitationskraft:

$$\text{Coulomb'sches Gesetz } |\vec{F}_C| = \frac{1}{4\pi\epsilon_0} \frac{|q_1 q_2|}{r^2} = \frac{1}{4\pi\epsilon_0} \frac{e^2}{r^2}$$

$$\text{Gravitationskraft } |\vec{F}_G| = G \frac{m_p m_e}{r^2} \Rightarrow$$

$$\frac{|\vec{F}_C|}{|\vec{F}_G|} = \frac{\frac{1}{4\pi\epsilon_0} \frac{e^2}{r^2}}{G \frac{m_p m_e}{r^2}} = \frac{1}{4\pi\epsilon_0} \frac{e^2}{G m_p m_e} = (8.99 \times 10^9 \text{ N m}^2 \text{ C}^{-2}) \frac{(1.6 \times 10^{-19} \text{ C})^2}{(6.67 \times 10^{-11} \text{ N m}^2 \text{ kg}^{-2})(1.67 \times 10^{-27} \text{ kg})(9.11 \times 10^{-31} \text{ kg})}$$

$$\frac{|\vec{F}_C|}{|\vec{F}_G|} = 2.27 \times 10^{39}$$

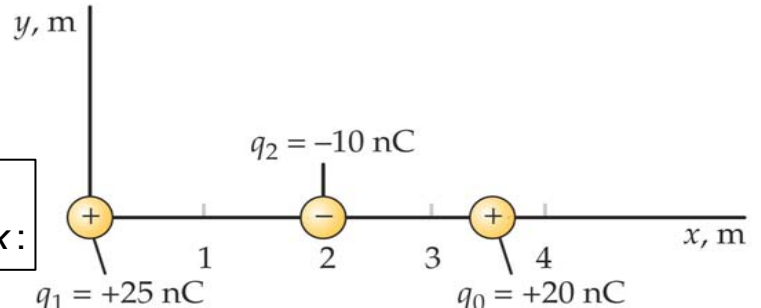
**Resultierende Kraft eines Systems von Ladungen**

Die resultierende Kraft, die auf einer einzelnen Ladung wirkt, ist die Vektorsumme der einzelnen Kräfte aller anderen Ladungen des Systems, die auf diese Einzelladung wirken.

Beispiel 21.4: Resultierende Kraft

Drei Punktladungen auf der x-Achse:

$q_1 = +25 \text{ nC}$  bei  $x_1 = 0 \text{ m}$ ,  $q_2 = -10 \text{ nC}$  bei  $x_2 = 2 \text{ m}$ ,  $q_0 = +20 \text{ nC}$  bei  $x_0 = x$ :



Teil a) gesucht resultierende Kraft auf  $q_0$  für  $x_0 = 3.5 \text{ m} \Rightarrow$

$$\text{Kraft von } q_1 \text{ auf } q_0: \vec{F}_{1,0} = \frac{1}{4\pi\epsilon_0} \frac{q_1 q_0}{r_{1,0}^2} \vec{e}_x = (8.99 \times 10^9 \text{ N m}^2 \text{ C}^{-2}) \frac{(+25 \text{ nC})(+20 \text{ nC})}{(3.5 \text{ m})^2} \vec{e}_x = (0.367 \mu\text{m}) \vec{e}_x$$

$$\text{Kraft von } q_2 \text{ auf } q_0: \vec{F}_{2,0} = \frac{1}{4\pi\epsilon_0} \frac{q_2 q_0}{r_{2,0}^2} \vec{e}_x = (8.99 \times 10^9 \text{ N m}^2 \text{ C}^{-2}) \frac{(-10 \text{ nC})(+20 \text{ nC})}{(1.5 \text{ m})^2} \vec{e}_x = (-0.799 \mu\text{m}) \vec{e}_x$$

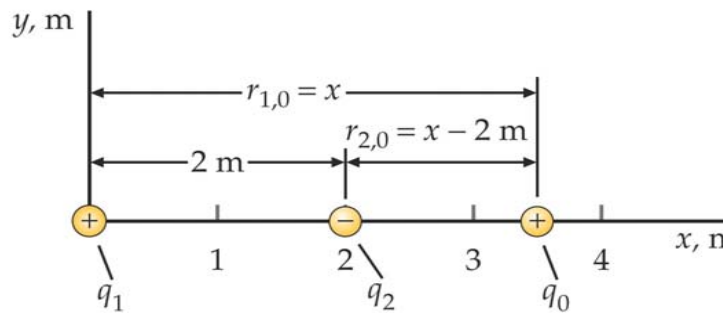
$$\Rightarrow \vec{F} = \vec{F}_{1,0} + \vec{F}_{2,0} = (0.367 \mu\text{m}) \vec{e}_x + (-0.799 \mu\text{m}) \vec{e}_x = (-0.432 \mu\text{m}) \vec{e}_x$$

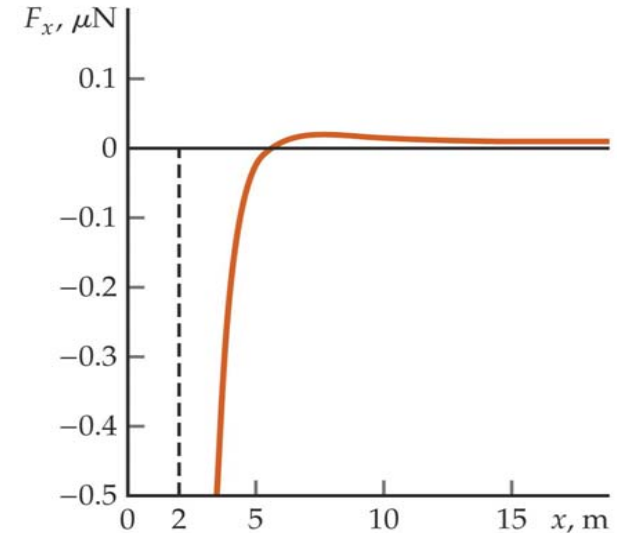
Teil b) resultierende Kraft für  $r_{1,0} = x$ ,  $r_{2,0} = x - x_2$

$$\text{Kraft von } q_1 \text{ auf } q_0: \vec{F}_{1,0} = \frac{1}{4\pi\epsilon_0} \frac{q_1 q_0}{x^2} \vec{e}_x$$

$$\text{Kraft von } q_2 \text{ auf } q_0: \vec{F}_{2,0} = \frac{1}{4\pi\epsilon_0} \frac{q_2 q_0}{(x - x_2)^2} \vec{e}_x$$

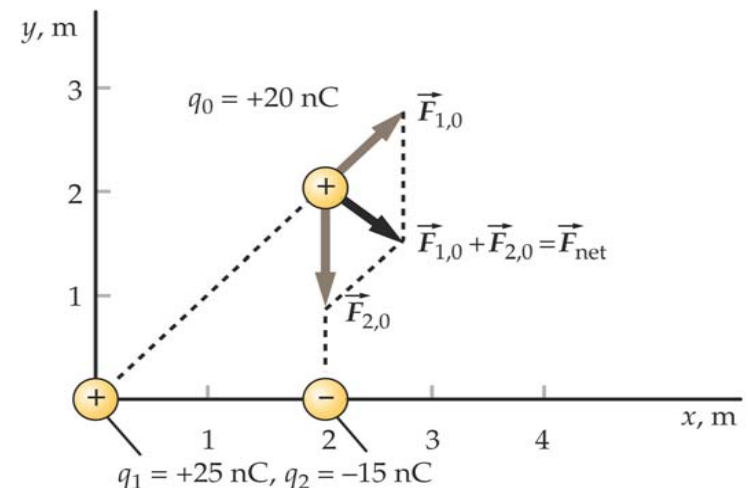
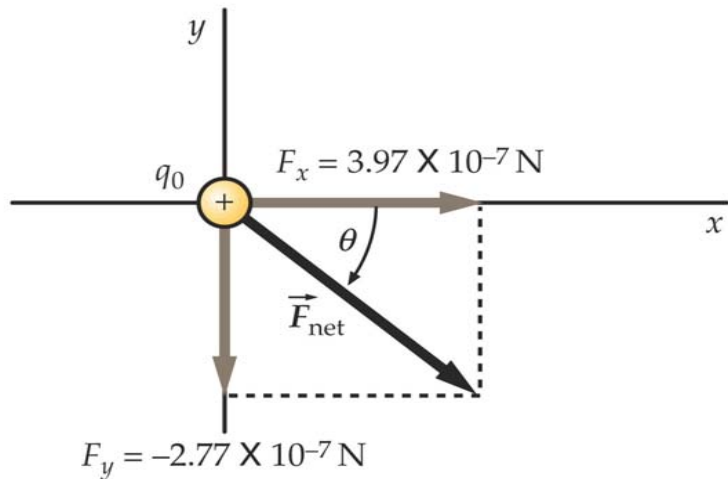
$$\bar{F} = \vec{F}_{1,0} + \vec{F}_{2,0} = \frac{1}{4\pi\epsilon_0} \left( \frac{q_1 q_0}{x^2} + \frac{q_2 q_0}{(x - x_2)^2} \right) \vec{e}_x$$





Beispiel 21.5: Resultierende Kraft in zwei Dimensionen

mögliches Prüfungsbeispiel



## 21.4 Das elektrische Feld (The electric field)

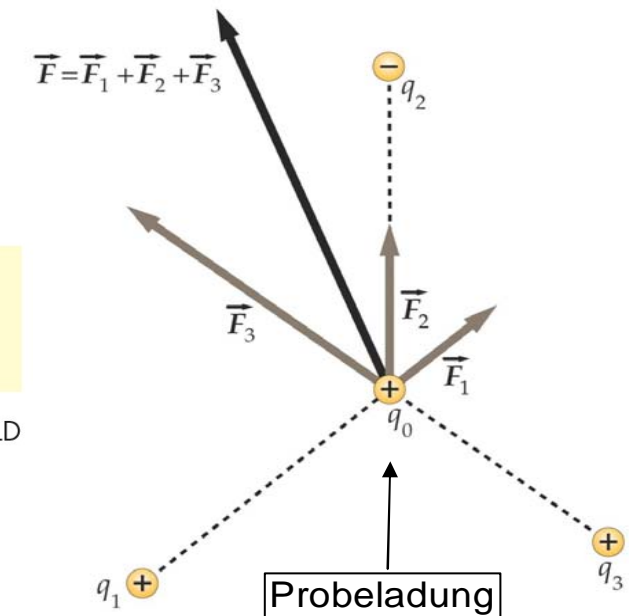
Um das Problem der Fernwirkung zu vermeiden, wird das Konzept des elektrischen Feld eingeführt. Eine Ladung erzeugt überall im Raum ein elektrisches Feld  $\vec{E}$ , und durch dieses Feld erfährt eine zweite Ladung eine Kraft.

$$\vec{E} = \frac{\vec{F}}{q_0} \text{ (} q_0 \text{ small)}$$

TABLE 21-2

## Some Electric Fields in Nature

	$E, \text{ N/C}$
In household wires	$10^{-2}$
In radio waves	$10^{-1}$
In the atmosphere	$10^2$
In sunlight	$10^3$
Under a thundercloud	$10^4$
In a lightning bolt	$10^4$
In an X-ray tube	$10^6$
At the electron in a hydrogen atom	$6 \times 10^{11}$
At the surface of a uranium nucleus	$2 \times 10^{21}$

SI-Einheit des elektrischen Felds:  $\text{N C}^{-1}$ 

## DEFINITION—ELECTRIC FIELD

Das elektrische Feld beschreibt den Zustand des Raums, der durch ein System von Punktladungen hervorgerufen wird. Durch Bewegen einer Probenladung  $q_0$  von Punkt zu Punkt kann man  $\vec{E}$  in allen Raumpunkten finden.

Das elektrische Feld ist eine Vektorfunktion des Orts

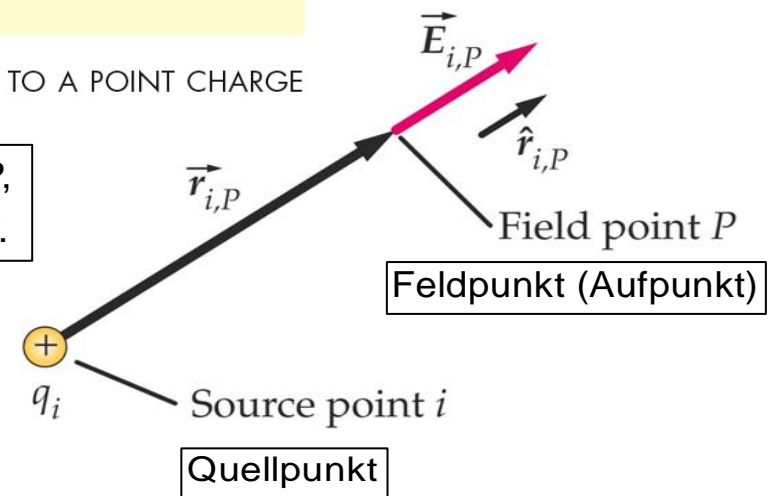
Änderungen im Feld breiten sich durch den Raum mit Lichtgeschwindigkeit  $c$  aus. Wenn eine felderzeugende Ladung plötzlich bewegt wird, ändert sich die auf eine zweite Ladung im Abstand  $r$  wirkende Kraft erst zu einem späteren Zeitpunkt  $r/c$

$$\vec{E}_{i,P} = \frac{kq_i}{r_{i,P}^2} \hat{r}_{i,P}$$

21-7

COULOMB'S LAW FOR  $\vec{E}$  DUE TO A POINT CHARGE

Das elektrische Feld  $\vec{E}$  an einem Feldpunkt  $P$ , erzeugt durch eine Ladung  $q_i$  im Quellpunkt  $i$ .



$$\vec{E}_P = \sum_i \vec{E}_{i,P} = \sum_i \frac{kq_i}{r_{i,P}^2} \hat{r}_{i,P}$$

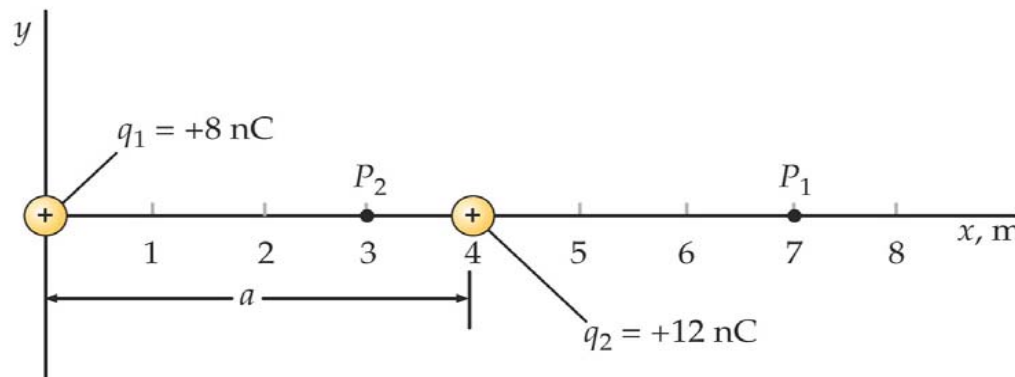
21-8

ELECTRIC FIELD  $\vec{E}$  DUE TO A SYSTEM OF POINT CHARGES

Beispiel 21.6: Elektrisches Feld von zwei positiven Ladungen auf einer Linie

Positive Ladung  $q_1 = +8 \text{ nC}$  im Koordinatenursprung, zweite positive Ladung  $q_2 = +12 \text{ nC}$  auf der x-Achse bei  $a = 4 \text{ m}$ .

Gesucht resultierendes Feld auf der x-Achse a) am Punkt  $P_1$  b) am Punkt  $P_2$ :



Teil b) für Feldpunkt (Aufpunkt)  $P_2$ :  $\vec{e}_{\bar{r}_1} = \vec{e}_x$  und  $\vec{e}_{\bar{r}_2} = -\vec{e}_x$   $\Rightarrow$

$$\vec{E}_{P_2, q_1} = \frac{1}{4\pi\epsilon_0} \frac{q_1}{r_1^2} \vec{e}_{\bar{r}_1} = \frac{1}{4\pi\epsilon_0} \frac{q_1}{x^2} \vec{e}_x;$$

$$\vec{E}_{P_2, q_2} = \frac{1}{4\pi\epsilon_0} \frac{q_2}{r_2^2} \vec{e}_{\bar{r}_2} = -\frac{1}{4\pi\epsilon_0} \frac{q_2}{(x-a)^2} \vec{e}_x;$$

$$\begin{aligned} \vec{E} &= \vec{E}_{P_2, q_1} + \vec{E}_{P_2, q_2} = \frac{1}{4\pi\epsilon_0} \frac{q_1}{x^2} \vec{e}_x - \frac{1}{4\pi\epsilon_0} \frac{q_2}{(x-a)^2} \vec{e}_x = \\ &= (8.99 \times 10^9 \text{ N m}^2 \text{ C}^{-2}) \left[ \frac{(8 \times 10^{-9} \text{ C})}{(3 \text{ m})^2} - \frac{(12 \times 10^{-9} \text{ C})}{(-1 \text{ m})^2} \right] \vec{e}_x = \\ &= (7.99 \text{ N C}^{-1}) \vec{e}_x - (108 \text{ N C}^{-1}) \vec{e}_x = -(100 \text{ N C}^{-1}) \vec{e}_x \end{aligned}$$

Teil a) aus Gl. (21.8)  $\vec{E} = \sum_i \frac{1}{4\pi\epsilon_0} \frac{q_i}{r_i^2} \vec{e}_{\bar{r}_i} \Rightarrow$

für Feldpunkt (Aufpunkt)  $P_1$ :  $\vec{e}_{\bar{r}_1} = \vec{e}_x$  und  $\vec{e}_{\bar{r}_2} = \vec{e}_x \Rightarrow$

$$\vec{E}_{P_1, q_1} = \frac{1}{4\pi\epsilon_0} \frac{q_1}{r_1^2} \vec{e}_{\bar{r}_1} = \frac{1}{4\pi\epsilon_0} \frac{q_1}{x^2} \vec{e}_x;$$

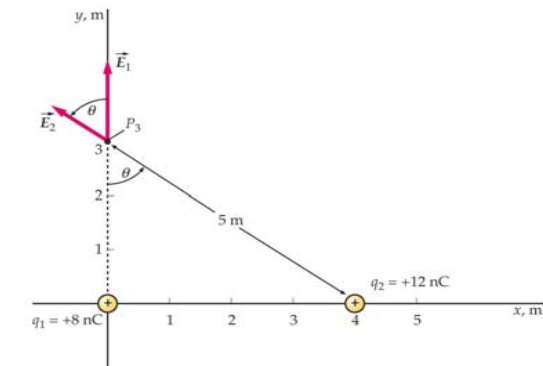
$$\vec{E}_{P_1, q_2} = \frac{1}{4\pi\epsilon_0} \frac{q_2}{r_2^2} \vec{e}_{\bar{r}_2} = \frac{1}{4\pi\epsilon_0} \frac{q_2}{(x-a)^2} \vec{e}_x;$$

$$\vec{E} = \vec{E}_{P_1, q_1} + \vec{E}_{P_1, q_2} = \frac{1}{4\pi\epsilon_0} \frac{q_1}{x^2} \vec{e}_x + \frac{1}{4\pi\epsilon_0} \frac{q_2}{(x-a)^2} \vec{e}_x =$$

$$= (8.99 \times 10^9 \text{ N m}^2 \text{ C}^{-2}) \left[ \frac{(8 \times 10^{-9} \text{ C})}{(7 \text{ m})^2} + \frac{(12 \times 10^{-9} \text{ C})}{(3 \text{ m})^2} \right] \vec{e}_x =$$

$$= (1.47 \text{ N C}^{-1}) \vec{e}_x + (12.0 \text{ N C}^{-1}) \vec{e}_x = (13.5 \text{ N C}^{-1}) \vec{e}_x$$

Beispiel 21.7: Elektrisches Feld auf der y-Achse, erzeugt durch Punktladungen auf der x-Achse  
mögliches Prüfungsbeispiel

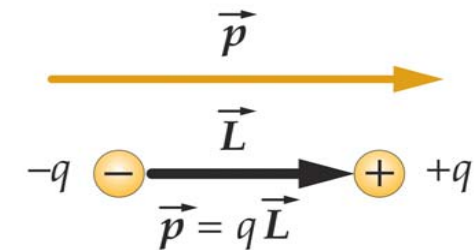


**Elektrische Dipole**

**Elektrischer Dipol:** System von zwei entgegengesetzten gleichen Ladungen  $q$ , die durch einen (kleinen) Abstand  $\vec{L}$  voneinander getrennt sind.

$$\vec{p} = q\vec{L}$$

21-9



DEFINITION—ELECTRIC DIPOLE MOMENT

Das Dipolmoment ist ein Vektor, der vom negativen zur positiven Ladung zeigt, mit Betrag  $qL$

Elektrisches Feld des Dipols in einem Punkt auf der Achse in großer Entfernung  $|x|$  vom Dipol:  $|\vec{E}| = \frac{1}{4\pi\epsilon_0} \frac{2|\vec{p}|}{|x|^3}$

Beispiel 21.8: Elektrisches Feld von zwei entgegengesetzten gleichen Ladungen

Eine Ladung  $+q$  bei  $x = a$ , eine zweite Ladung  $-q$  bei  $x = -a \Rightarrow$

gesucht a)  $\vec{E}$  auf der  $x$ -Achse für  $x > a$ , b)  $\vec{E}$  auf der  $x$ -Achse für  $x \gg a$

Teil a) aus Gl. (21.8)  $\vec{E} = \sum_i \frac{1}{4\pi\epsilon_0} \frac{q_i}{r_i^2} \vec{e}_{\vec{r}_i} \Rightarrow$  für Feldpunkt (Aufpunkt)  $P$  bei  $x > a$ :  $\vec{e}_{\vec{r}_1} = \vec{e}_x$  und  $\vec{e}_{\vec{r}_2} = \vec{e}_x \Rightarrow$

$$\vec{E}_{P,q_1} = \frac{1}{4\pi\epsilon_0} \frac{q_1}{r_1^2} \vec{e}_{\vec{r}_1} = \frac{1}{4\pi\epsilon_0} \frac{q}{(x-a)^2} \vec{e}_x; \quad \vec{E}_{P,q_2} = \frac{1}{4\pi\epsilon_0} \frac{q_2}{r_2^2} \vec{e}_{\vec{r}_2} = \frac{1}{4\pi\epsilon_0} \frac{-q}{(x+a)^2} \vec{e}_x;$$

$$\vec{E} = \vec{E}_{P,q_1} + \vec{E}_{P,q_2} = \frac{1}{4\pi\epsilon_0} \frac{q}{(x-a)^2} \vec{e}_x + \frac{1}{4\pi\epsilon_0} \frac{-q}{(x+a)^2} \vec{e}_x = \frac{q}{4\pi\epsilon_0} \left[ \frac{1}{(x-a)^2} - \frac{1}{(x+a)^2} \right] \vec{e}_x = \frac{q}{4\pi\epsilon_0} \left[ \frac{(x+a)^2 - (x-a)^2}{(x-a)^2(x+a)^2} \right] \vec{e}_x \Rightarrow$$

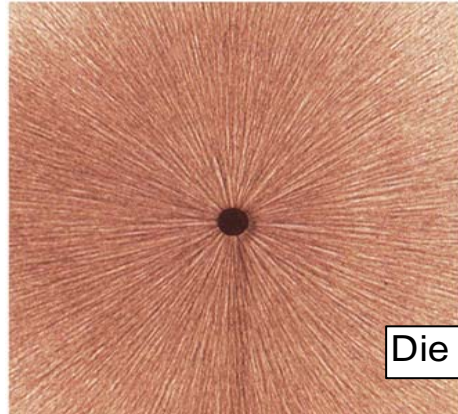
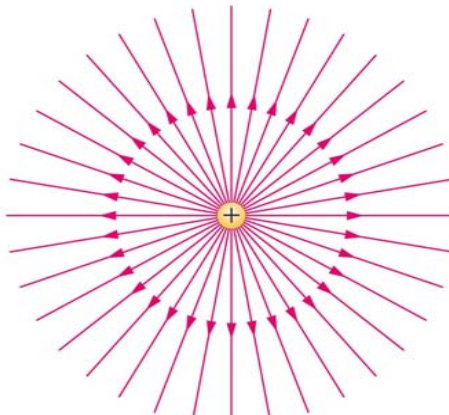
$$= \frac{q}{4\pi\epsilon_0} \left[ \frac{(x^2 + 2ax + a^2) - (x^2 - 2ax + a^2)}{(x-a)(x+a)(x-a)(x+a)} \right] \vec{e}_x = \frac{q}{4\pi\epsilon_0} \left[ \frac{4ax}{(x^2 - a^2)^2} \right] \vec{e}_x$$

$$\text{Teil b) für } x \gg a \Rightarrow a^2 \ll x^2 \Rightarrow \vec{E} = \frac{q}{4\pi\epsilon_0} \left[ \frac{4ax}{(x^2 - a^2)^2} \right] \vec{e}_x \approx \frac{q}{4\pi\epsilon_0} \left[ \frac{4ax}{x^4} \right] \vec{e}_x = \frac{1}{4\pi\epsilon_0} \frac{4qa}{x^3} \vec{e}_x = \frac{1}{4\pi\epsilon_0} \frac{2p}{x^3} \vec{e}_x$$

## 21.5 Elektrische Feldlinien (Electric field lines)

Das elektrische Feld kann durch gerichtete Linien dargestellt werden  $\Rightarrow$  elektrische Feldlinien.

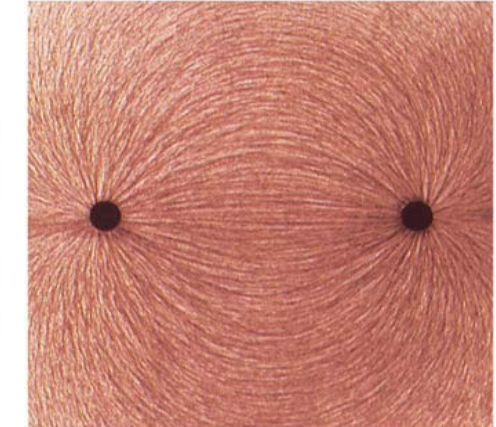
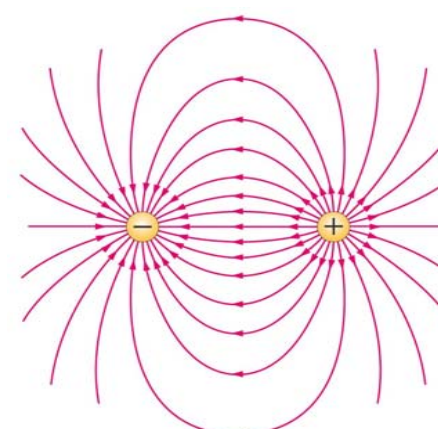
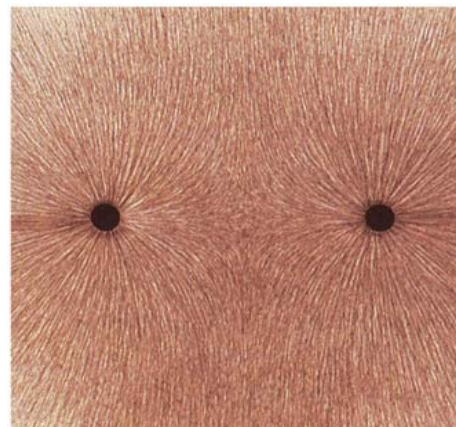
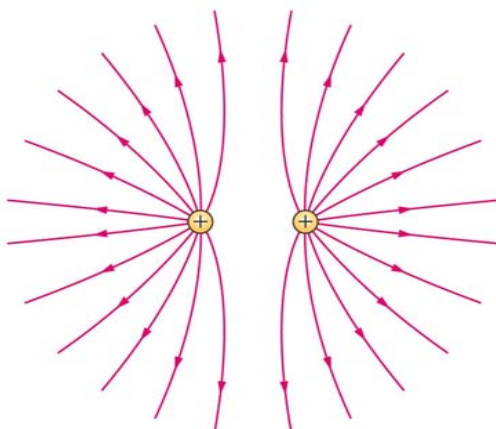
Sie werden auch Kraftlinien genannt, da sie die Richtung der Kraft zeigen, die auf eine positive Ladung wirkt.



Die elektrischen Feldlinien zeigen in der Nähe einer positiven Ladung von der Ladung weg, und in der Nähe einer negativen Ladung zu dieser Ladung hin.

Die Feldstärke wird durch die Dichte der Feldlinien angegeben.

Elektrische Feldlinien einer einzelnen positiven Ladung

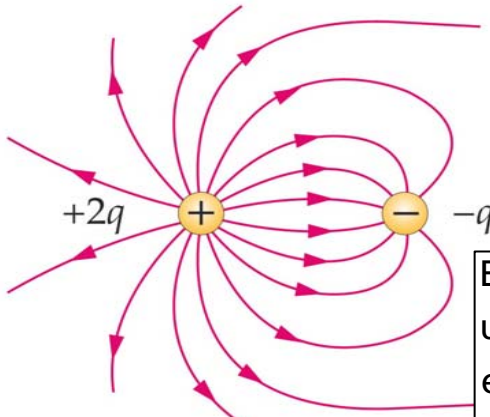


Elektrische Feldlinien von zwei positiven Punktladungen

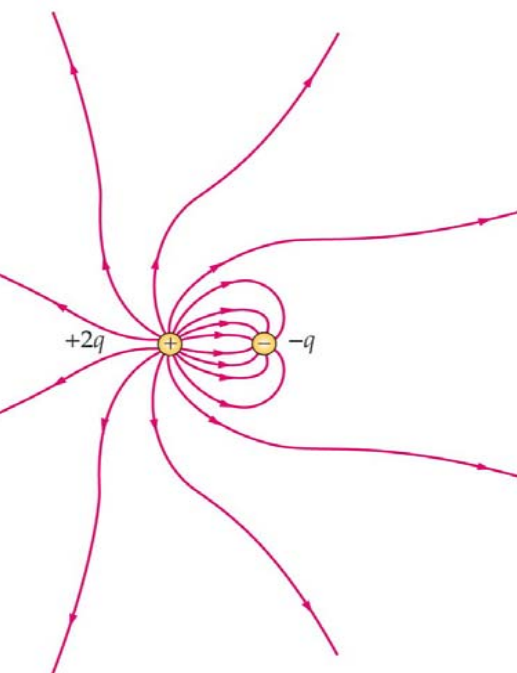
Elektrische Feldlinien eines elektrischen Dipols

1. Electric field lines begin on positive charges (or at infinity) and end on negative charges (or at infinity).
2. The lines are drawn uniformly spaced entering or leaving an isolated point charge.
3. The number of lines leaving a positive charge or entering a negative charge is proportional to the magnitude of the charge.
4. The density of the lines (the number of lines per unit area perpendicular to the lines) at any point is proportional to the magnitude of the field at that point.
5. At large distances from a system of charges with a net charge, the field lines are equally spaced and radial, as if they came from a single point charge equal to the net charge of the system.
6. Field lines do not cross. (If two field lines crossed, that would indicate two directions for  $\vec{E}$  at the point of intersection.)

#### RULES FOR DRAWING ELECTRIC FIELD LINES



Elektrische Feldlinien für eine Punktladung  $+2q$  und eine zweite Punktladung  $-q$ : es treten zwei mal so viele Linien aus der positiven Ladung aus wie in die negative Ladung hinein.



Beispiel 21.9: Elektrische Feldlinien für zwei leitende Kugeln

Elektrischen Feldlinien für zwei leitende Kugel siehe Abbildung  $\Rightarrow$

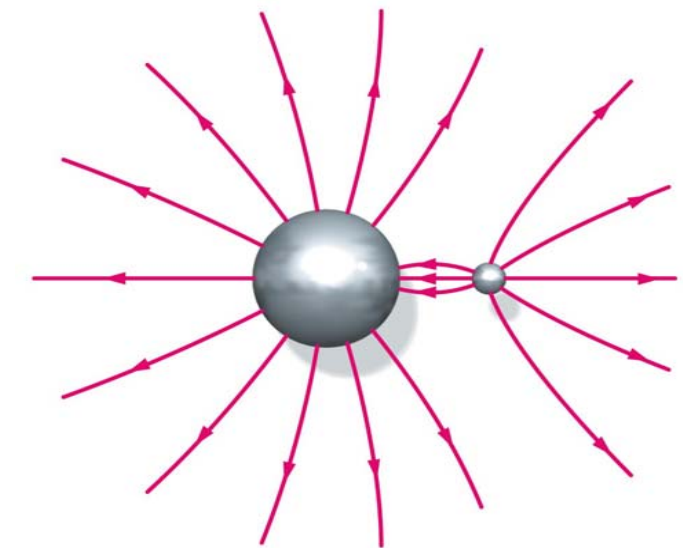
Wie groß sind die Beträge der Ladungen auf den zwei Kugeln? Welches Vorzeichen haben sie?

Große Kugel (links): 11 elektrische Feldlinien verlassen die Kugel, und drei kommen an  $\Rightarrow$  Ladung auf der großen Kugel positiv;

kleine Kugel (rechts): 8 elektrische Feldlinien verlassen die Kugel, und keine kommt an  $\Rightarrow$  Ladung auf der kleinen Kugel positiv;

$\Rightarrow$  insgesamt gleiche Anzahl der austretenden Linien  $\Rightarrow$

beide Kugel haben die gleiche positive Ladung;



## 21.6 Bewegung von Punktladungen in elektrischen Feldern (Motion of point charges in electric fields)

Teilchen mit Ladung  $q$  in einem elektrischen Feld  $\vec{E}$   $\Rightarrow$

Teilchen erfährt eine Kraft  $\vec{F} = m\vec{a} = q\vec{E}$   $\Rightarrow$

$$\vec{a} = \frac{q}{m} \vec{E}$$

Ist das elektrische Feld bekannt  $\Rightarrow$  dann lässt sich  $\frac{q}{m}$  aus der gemessenen Beschleunigung ermitteln.

Ablenkung eines Elektronenstrahls durch ein elektrisches Feld (oder auch durch ein magnetisches Feld) in einer Fernsehröhre.



Beispiel 21.10: Bewegung eines Elektrons parallel zu einem homogenen elektrischen Feld

Elektron in ein homogenes elektrisches Feld  $\vec{E} = (1000 \text{ N C}^{-1})\vec{e}_x$ ,

Anfangsgeschwindigkeit  $v_0 = (2 \times 10^6 \text{ m s}^{-1})\vec{e}_x$  in Richtung des Feldes,

gesucht die Länge der Strecke bis  $v = 0$ :

da  $q = -e \Rightarrow \vec{F} = -e\vec{E}$  wirkt entgegengesetzt der Feldrichtung  $\Rightarrow$

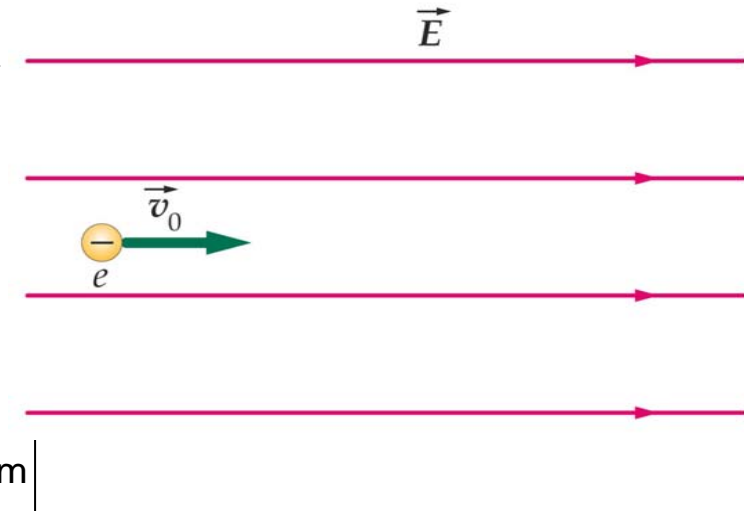
Abbremsung des Elektrons;

da  $\vec{E}$  konstant  $\Rightarrow \vec{F}$  konstant  $\Rightarrow \vec{a}$  konstant  $\Rightarrow$

aus Gl. (2.17)  $v_x^2 = v_{0,x}^2 + 2a_x \Delta x$  mit  $a_x = \frac{-eE}{m} \Rightarrow$

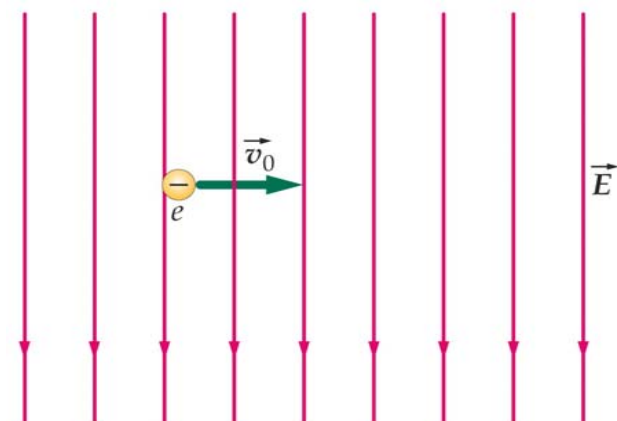
$v_x^2 = v_{0,x}^2 + 2a_x \Delta x = v_{0,x}^2 + 2 \frac{-eE}{m} \Delta x \Rightarrow$  gefordert  $v_x = 0 \Rightarrow$

$$\Delta x = \frac{mv_{0,x}^2}{2eE} = \frac{(9.11 \times 10^{-31} \text{ kg})(2 \times 10^6 \text{ m s}^{-1})^2}{2(1.6 \times 10^{-19} \text{ C})(1000 \text{ N C}^{-1})} = 1.14 \times 10^{-2} \text{ m} = 1.14 \text{ cm}$$



Beispiel 21.11: Bewegung eines Elektrons senkrecht zu einem homogenen elektrischen Feld

mögliches Prüfungsbeispiel



Beispiel 21.12: Das elektrische Feld in einem Tintenstrahldrucker

Tintentropfen (Dichte  $\rho=1000 \text{ kg m}^{-3}$ ) mit Durchmesser  $40 \mu\text{m}$ ,

Anfangsgeschwindigkeit  $v_{0,x} = 40 \text{ m s}^{-1}$ ,

Ladung  $q = 2 \text{ nC}$  wenn vertikale Ablenkung

$\Delta y = 3 \text{ mm}$  beim Durchlauf der Ablenkplatten

von  $\Delta x = 1 \text{ cm}$ ;

gesucht die Größe des elektrischen Feldes  $E$ :

Es gilt  $\vec{E} = \frac{\vec{F}}{q}$  und  $\vec{F} = m\vec{a}$ ,

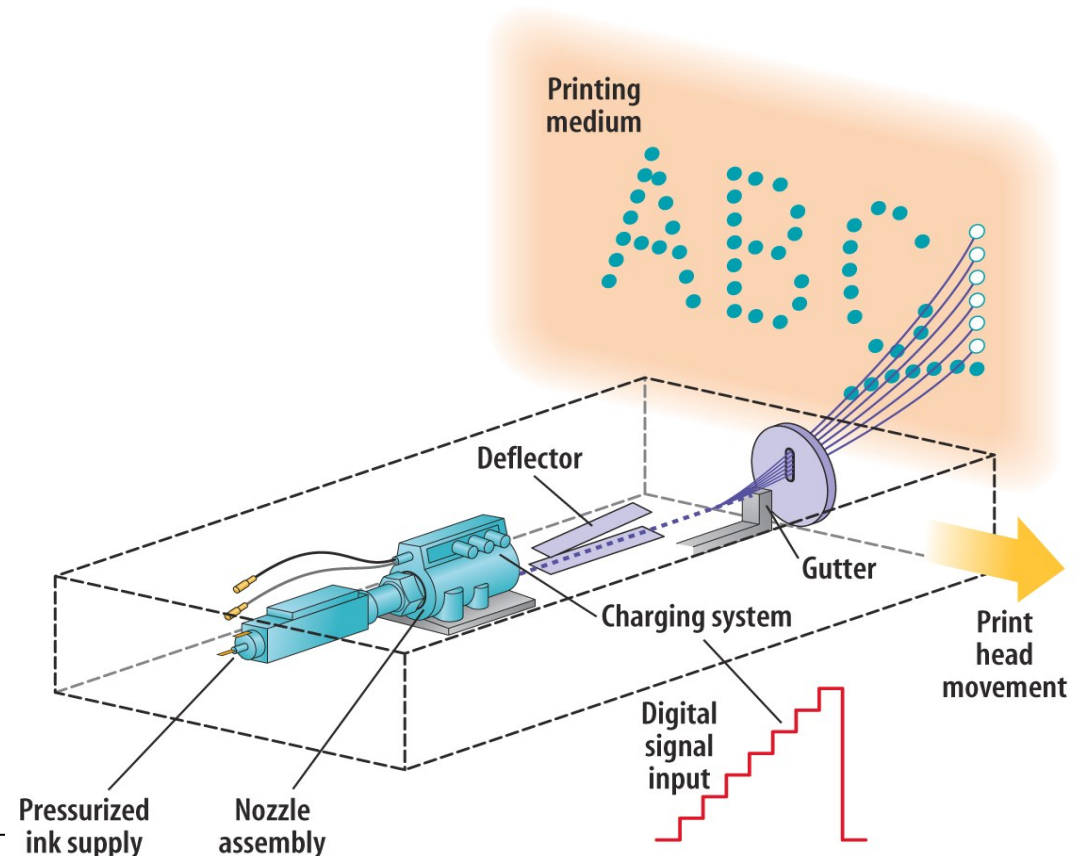
$$\text{vertikale Verschiebung } \Delta y = v_{0,y}t + \frac{1}{2}a_y t^2 \Rightarrow$$

$$\text{mit } v_{0,y} = 0 \Rightarrow \Delta y = \frac{1}{2}a_y t^2 \Rightarrow a_y = \frac{2\Delta y}{t^2};$$

$$\text{Durchlaufzeit der Ablenkplatten } \Delta x = v_{0,x} t \Rightarrow$$

$$t = \frac{\Delta x}{v_{0,x}} \Rightarrow \text{eingesetzt } a_y = \frac{2\Delta y}{(\Delta x)^2} v_{0,x}^2;$$

$$\text{mit } m = \rho V = \rho \frac{4}{3} \pi r^3 \Rightarrow$$



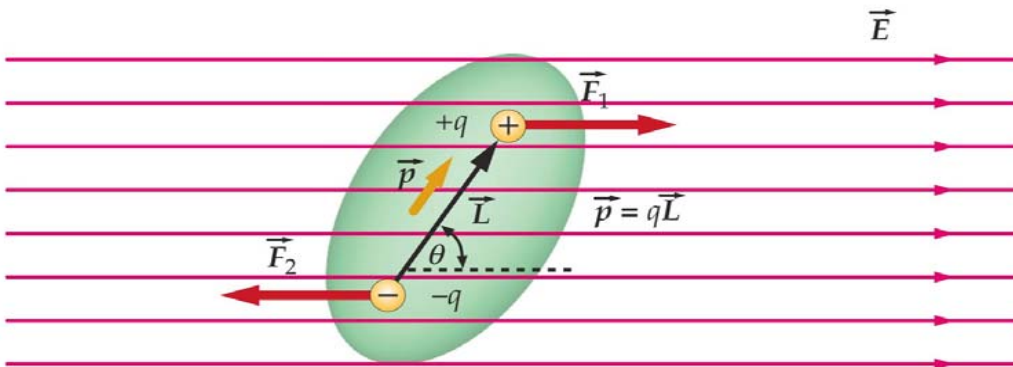
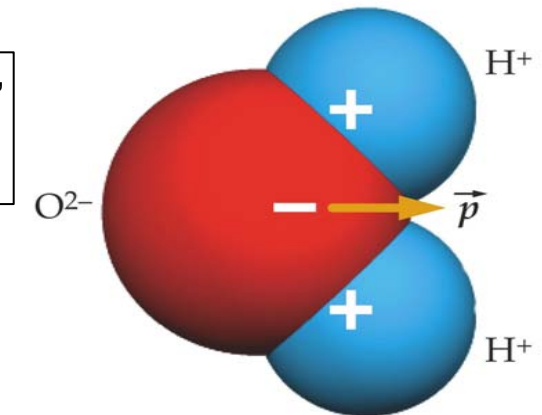
$$\begin{aligned} \text{mit } |\vec{E}| = E_y = \frac{F_y}{q} = \frac{ma_y}{q} &= \frac{\rho \frac{4}{3} \pi r^3 \frac{2\Delta y}{(\Delta x)^2} v_{0,x}^2}{q} = \frac{8\pi \rho r^3 v_{0,x}^2 \Delta y}{3 q (\Delta x)^2} = \frac{8\pi (1000 \text{ kg m}^{-3}) (20 \times 10^{-6} \text{ m})^3 (40 \text{ m s}^{-1})^2 (3 \times 10^{-3} \text{ m})}{(2 \times 10^{-9} \text{ C})(0.01 \text{ m})^2} = \\ &= 1610 \text{ N C}^{-1} \end{aligned}$$

## 21.7 Elektrische Dipole in elektrischen Feldern (Electric dipoles in electric fields)

### Polare Moleküle

**Polare Moleküle:** Moleküle mit einem permanenten Dipolmoment, verursacht durch eine inhomogene Ladungsverteilung innerhalb des Moleküls.

Ein homogenes äußeres elektrisches Feld übt keine resultierende Kraft auf einen Dipol aus. Die entgegengesetzte gleiche Kräfte drehen den Dipol bis sein Dipolmoment parallel zur Richtung des Feldes steht.



Ein Wassermolekül hat ein permanentes elektrisches Dipolmoment

Betrag des Drehmoments für jede Punktladung:  $|\vec{\tau}| = |\vec{L} \times \vec{F}| = |\vec{L}| |\vec{F}| \sin \theta = |\vec{L}| |q\vec{E}| \sin \theta = |\vec{p}| |\vec{E}| \sin \theta$ .

$\Rightarrow \vec{\tau} = \vec{p} \times \vec{E}$ , wobei das Drehmoment, das vom Kräftepaar erzeugt wird, ist unabhängig von dem gewählten Bezugspunkt siehe Kapitel 12.4 in Teil 12.

Drehung eines Dipols um den Winkel  $d\theta$  im elektrischen Feld  $\Rightarrow$

geleistete Arbeit (siehe Tabelle 9.2 im Teil 9)  $dW = -|\vec{\tau}| d\theta = -|\vec{p}| |\vec{E}| \sin \theta d\theta \Rightarrow$

mit  $dE_{\text{pot}} = -dW = |\vec{p}| |\vec{E}| \sin \theta d\theta$  (siehe Teil 6.4 in Kapitel 4)  $\Rightarrow$  integriert  $E_{\text{pot}} = -|\vec{p}| |\vec{E}| \cos \theta + E_{\text{pot},0} \Rightarrow$

$E_{\text{pot},0}$  willkürliche Integrationskonstante  $\Rightarrow$  gewählt wird  $E_{\text{pot},0} = 0$  bei  $90^\circ \Rightarrow$

$$E_{\text{pot}} = -|\vec{p}| |\vec{E}| \cos \theta = -\vec{p} \cdot \vec{E}$$

$$U = -pE \cos \theta = -\vec{p} \cdot \vec{E}$$

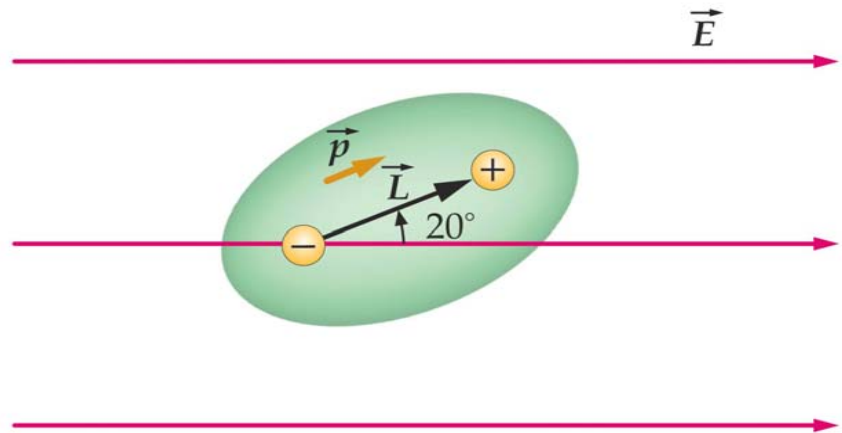
21-12

## POTENTIAL ENERGY OF A DIPOLE IN AN ELECTRIC FIELD

Mikrowellenherde nützen die elektrischen Dipolmomente der Wassermoleküle, um Essen zu kochen:  
 Mikrowelle  $\Rightarrow$  oszillierende elektromagnetische Wellen  $\Rightarrow$  Erzeugung von Drehmomenten von elektrischen Dipolen  $\Rightarrow$  Rotation der Moleküle  $\Rightarrow$  Energieübertragung auf die Speise

Beispiel 21.13: Drehmoment und potentielle Energie

Dipol mit  $|\vec{p}| = 0.02 \text{ e nm}$  in einem elektrischen Feld mit  $|\vec{E}| = 3 \times 10^3 \text{ N C}^{-1}$  bildet einen Winkel  $\theta = 20^\circ$ ,  
 gesucht a) Drehmoment, b) potentielle Energie



Teil a) aus Gl. (21.11)  $\vec{\tau} = \vec{p} \times \vec{E} \Rightarrow |\vec{\tau}| = |\vec{p}| |\vec{E}| \sin \theta = (0.02 \text{ e nm}) (3 \times 10^3 \text{ N C}^{-1}) \sin 20^\circ = (0.02) (1.6 \times 10^{-19} \text{ C}) (10^{-9} \text{ m}) (3 \times 10^3 \text{ N C}^{-1}) \sin 20^\circ = 3.28 \times 10^{-27} \text{ N m}$

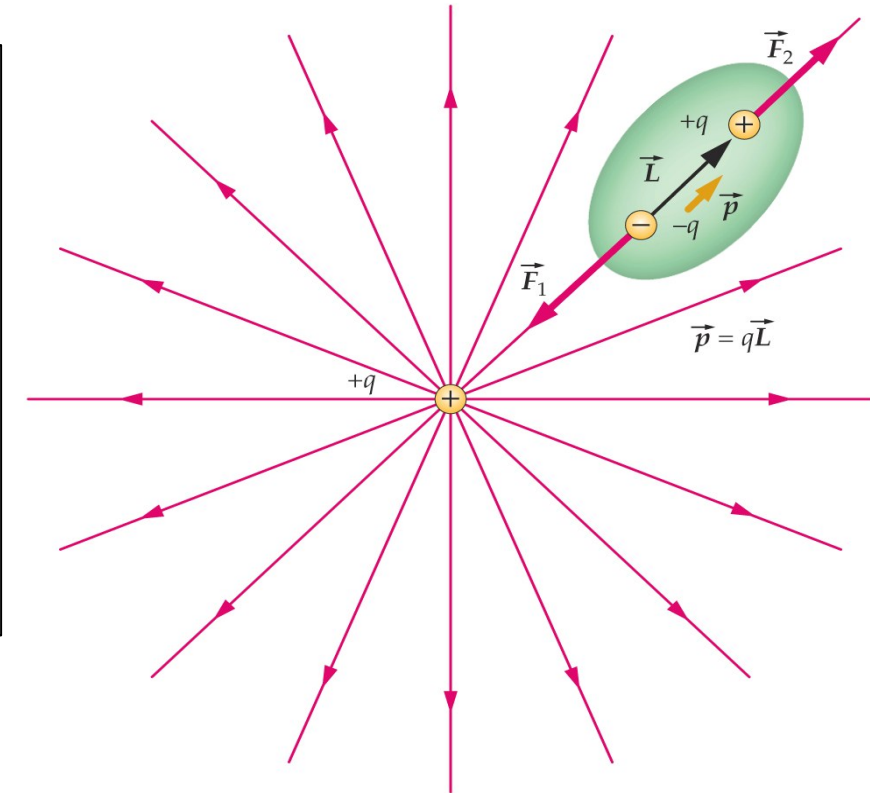
Teil b)  $E_{\text{pot}} = -\vec{p} \cdot \vec{E} = -|\vec{p}| |\vec{E}| \cos \theta = -(0.02) (1.6 \times 10^{-19} \text{ C}) (10^{-9} \text{ m}) (3 \times 10^3 \text{ N C}^{-1}) \cos 20^\circ = -9.02 \times 10^{-27} \text{ J}$

**Nichtpolare Moleküle**

Nichtpolare Moleküle haben kein permanentes elektrisches Dipolmoment.

In Anwesenheit eines elektrischen Feldes  $\Rightarrow$  Ladungen räumlich getrennt  $\Rightarrow$  induziertes Dipolmoment  $\Rightarrow$  die Moleküle richten sich parallel zum äußeren elektrischen Feld aus und sind polarisiert.

In einem inhomogenen elektrischen Feld erfährt ein elektrischer Dipol eine von null verschiedene resultierende Kraft, da das elektrische Feld unterschiedliche Feldstärken an dem positiven und dem negativen Pol aufweist.



Nichtpolares Molekül in einem inhomogenen Feld einer positiven Punktladung



Alonso-Finn

- 21. Elektrische Wechselwirkung**
- 21.1 Einführung**
- 21.2 Elektrische Ladung**
- 21.3 Das Coulomb'sche Gesetz**
- 21.4 Ladungseinheiten**
- 21.5 Das elektrische Feld**
- 21.6 Das elektrische Feld einer Punktladung**
- 21.7 Die Quantisierung der elektrischen Ladung**
- 21.8 Das Prinzip der Ladungserhaltung**
- 21.9 Das elektrische Potential**
- 21.10 Beziehung zwischen elektrisches Potential und elektrisches Feld**
- 21.11 Elektrisches Potential einer Punktladung**
- 21.12 Energiebeziehungen in einem elektrischen Feld**